

УДК 539.12

ДВУХФОТОННОЕ РОЖДЕНИЕ ПАРЫ W -БОЗОНОВ НА УСКОРИТЕЛЯХ В ЛИДИРУЮЩЕМ ПОРЯДКЕ ТЕОРИИ ВОЗМУЩЕНИЙ И ОДНОПЕТЛЕВОМ ПРИБЛИЖЕНИИ

А. Ю. МАНЬКО¹⁾, Р. Г. ШУЛЯКОВСКИЙ²⁾

¹⁾Институт физики им. Б. И. Степанова НАН Беларусь,

пр. Независимости, 68, 220072, г. Минск, Беларусь

²⁾Институт прикладной физики НАН Беларусь,

ул. Академическая, 16, 220072, г. Минск, Беларусь

Исследован процесс двухфотонного рождения пары W -бозонов в экспериментах на адронных и электрон-позитронных ускорителях в лидирующем порядке теории возмущений и однопетлевом приближении. Данный процесс можно использовать для прецизионного изучения параметров Стандартной модели (трех- и четырехбозонных констант взаимодействий), поиска эффектов «новой физики» (например, аномальных констант взаимодействий). Этот механизм рождения W -бозонов имеет малое количество фоновых процессов, поэтому его можно исследовать на ускорителях с высокой точностью. Программа *LoopTools* применялась для численных вычислений однопетлевых интегралов, программа *Mathematica* и пакеты *FeynArts* и *FeynCalc* – для получения диаграмм и амплитуд Фейнмана, нахождения квадрата модуля матричного элемента. Рассчитаны полные и дифференциальные сечения для адронных и электрон-позитронных ускорителей с использованием приближения эквивалентных фотонов (приближение Вайцзеккера – Вильямса). В этом приближении рассеянные под малыми углами частицы регистрируются в форвард-детекторах, а рожденные частицы – в основном детекторе. Расчет производился на Монте-Карло генераторе *TwoPhotonGen*, написанном на языке C++. Показано, что полные и дифференциальные сечения процесса растут с увеличением энергии сталкивающихся начальных частиц.

Ключевые слова: двухфотонный механизм рождения; приближение эквивалентных фотонов; лидирующий порядок теории возмущений; однопетлевое приближение; однопетлевые интегралы; W -бозон.

THE TWO-PHOTON PRODUCTION OF W -BOSONS PAIR AT COLLIDERS AT THE LEADING ORDER AND THE ONE-LOOP CORRECTION

A. Yu. MANKO^a, R. G. SHULYAKOVSKY^b

^aB. I. Stepanov Institute of Physics, National Academy of Sciences of Belarus,
68 Nizeliežnasci Avenue, Minsk 220072, Belarus

^bInstitute of Applied Physics, National Academy of Sciences of Belarus,
16 Akademičnaja Street, Minsk 220072, Belarus

Corresponding author: A. Yu. Manko (andrey.j.manko@gmail.com)

In this paper the process of two-photon production of W -bosons pair was studied at hadron and electron-positron colliders in the leading and the next-to-leading order approximation. The process can be used for investigation precision

Образец цитирования:

Манько АЮ, Шуляковский РГ. Двухфотонное рождение пары W -бозонов на ускорителях в лидирующем порядке теории возмущений и однопетлевом приближении. Журнал Белорусского государственного университета. Физика. 2020;3:46–54.

<https://doi.org/10.33581/2520-2243-2020-3-46-54>

Авторы:

Андрей Юрьевич Манько – научный сотрудник Центра фундаментальных взаимодействий и астрофизики.

Роман Георгиевич Шуляковский – кандидат физико-математических наук, доцент; ведущий научный сотрудник.

For citation:

Manko AYu, Shulyakovskiy RG. The two-photon production of W -bosons pair at colliders at the leading order and the one-loop correction. Journal of the Belarusian State University. Physics. 2020;3:46–54. Russian.

<https://doi.org/10.33581/2520-2243-2020-3-46-54>

Authors:

Andrei Yu. Manko, researcher at the Center of Fundamental Interactions and Astrophysics.

andrey.j.manko@gmail.com

Roman G. Shulyakovskiy, PhD (physics and mathematics), docent; leading researcher.

r.shulyakovskiy@iaph.bas-net.by

parameters of Standard Model (tri-linear and quartic couplings) and search effects of «new physics» (for example anomalous couplings). This process of production W -bosons has a small background therefore it can be studied at colliders with high precision. The program *LoopTools* was used to numerical calculate one-loop integrals, the program *Mathematica* and the packages *FeynArts* and *FeynCalc* were used to obtain the Feynman diagrams and amplitudes, the square of module of matrix element. The total and differential cross sections for hadron and electron-positron colliders were calculated using the approximation of equivalent of photons (Weizsäcker – Williams approximation). In this approximation, the scattering particles are detected in the forward-detectors at small angles and the production particles are detected in the main detector. The Monte-Carlo generator *TwoPhotonGen* written in C++ was used for simulation. It is shown, the total and differential cross section are increasing with increasing of the total energy of colliding particles.

Keywords: the two-photon production mechanism; the approximation of equivalent photons; the leading and the one-loop correction; one-loop integrals; W -boson.

Введение

Стандартная модель (СМ) электрослабого [1; 2] и сильного [3–5] взаимодействий была успешно проверена во многих экспериментах. Несмотря на это, в СМ имеются проблемы: большое количество параметров (около 30), поколения夸克ов и лептонов, различие масс частиц по поколениям. Для решения этих проблем были предложены разнообразные расширения СМ – «новая физика», например суперсимметрия [6] и др. Чтобы найти данные эффекты, необходимо с высокой точностью измерять полные сечения, константы взаимодействий СМ и калибровать светимость ускорителя. Одними из важнейших констант взаимодействий СМ являются трех- и четырехбозонные. Они могут применяться для поиска эффектов «новой физики», в частности аномальных констант взаимодействий. Процесс двухфотонного рождения W -бозонов [7–11] может быть использован для калибровки светимости ускорителя, поиска аномальных констант взаимодействий и других эффектов «новой физики», а также для прецизионного изучения параметров СМ [12; 13]. В работах [7–10; 14–21] этот процесс применялся для исследования трех- и четырехбозонных констант взаимодействий с использованием Монте-Карло генераторов *PYTHIA* [22], *MadGraph* [23], *HERWIG* [24], *CalcHEP* [25] и *Forward Physics Monte Carlo* (FPMC) [26], в статьях [27–29] – для изучения лептонов, а в работе [30] – суперсимметричных лептонов. Поэтому двухфотонное рождение W -бозонов необходимо с высокой точностью изучить в СМ. Для этого его нужно рассчитать в однопетлевом приближении теории возмущений. В настоящей работе рассмотрен процесс двухфотонного рождения пары W -бозонов в адронных [7; 8] и электрон-позитронных столкновениях [11] в лидирующем порядке теории возмущений и однопетлевом приближении. Ввиду малого количества фоновых процессов такой механизм рождения W -бозонов можно исследовать на ускорителях с высокой точностью [7; 8]. Процессы с двухфотонным рождением пары W -бозонов имеют полное сечение, пропорциональное α^4 ($\alpha \approx 1/137$ – постоянная тонкой структуры). В данной статье изучался упругий случай в приближении Вайцзеккера – Вильямса [31; 32] для адронных и электрон-позитронных ускорителей.

Амплитуда и квадрат модуля матричного элемента

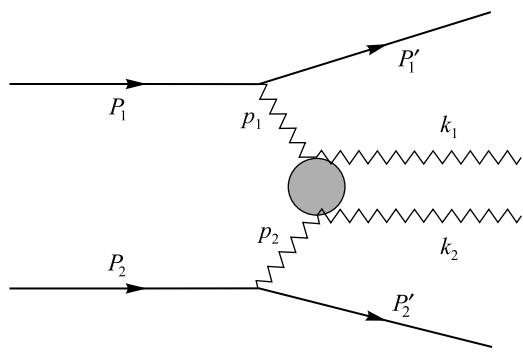
Амплитуды и диаграммы процесса

$$\gamma(p_1)\gamma(p_2) \rightarrow W^+(k_1)W^-(k_2) \quad (1)$$

получены с помощью пакета *FeynArts* [33] и программы *Mathematica*. Для вычисления квадрата модуля матричного элемента использовались пакет *FeynCalc* [34] и программа *Mathematica*. Диаграмма процесса двухфотонного рождения W -бозонов в упругом случае представлена на рис. 1, где P_1 и P_2 – 4-импульсы начальных частиц, P'_1 и P'_2 – 4-импульсы рассеянных частиц в форвард-детекторах, p_1 и p_2 – 4-импульсы γ -квантов, k_1 и k_2 – 4-импульсы W -бозонов.

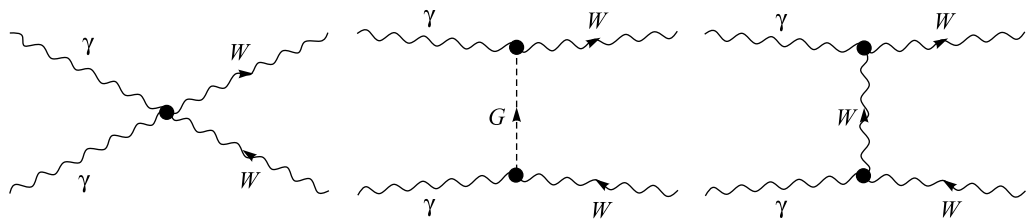
Диаграммы процесса (1) в лидирующем порядке теории возмущений приведены на рис. 2, где G – голдстуловский бозон в калибровке 'т Хоофта – Фейнмана [35].

На рис. 3 представлена одна из 144 собственно энергетических диаграмм, на рис. 4 – одна из 137 боксовых диаграмм, а на рис. 5 – одна из 402 вершинных диаграмм. Для устранения инфракрасной расходимости учитывался вклад тормозного излучения. Одна из 30 диаграмм жесткого тормозного излучения приведена на рис. 6.



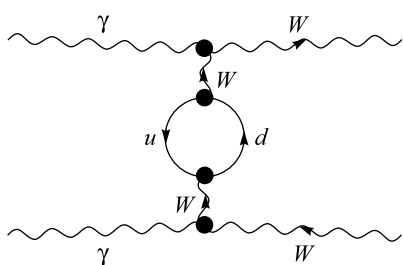
Ruc. 1. Диаграмма процесса двухфотонного рождения W -бозонов в упругом случае

Fig. 1. The diagram of the process two-photon production W -bosons at elastic case



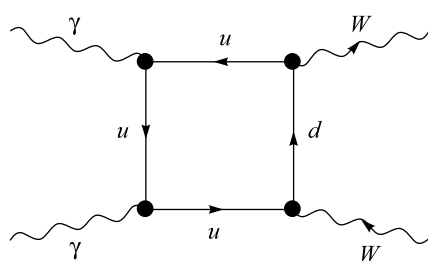
Ruc. 2. Диаграммы процесса $\gamma(p_1)\gamma(p_2) \rightarrow W^+(k_1)W^-(k_2)$ в лидирующем порядке теории возмущений

Fig. 2. The diagrams of the process $\gamma(p_1)\gamma(p_2) \rightarrow W^+(k_1)W^-(k_2)$ in the leading order



Ruc. 3. Собственно энергетическая диаграмма процесса $\gamma(p_1)\gamma(p_2) \rightarrow W^+(k_1)W^-(k_2)$ в однопетлевом приближении

Fig. 3. The self-energy diagram of the process $\gamma(p_1)\gamma(p_2) \rightarrow W^+(k_1)W^-(k_2)$ in the one-loop correction



Ruc. 4. Боксовая диаграмма процесса $\gamma(p_1)\gamma(p_2) \rightarrow W^+(k_1)W^-(k_2)$ в однопетлевом приближении

Fig. 4. The boxes diagram of the process $\gamma(p_1)\gamma(p_2) \rightarrow W^+(k_1)W^-(k_2)$ in the one-loop correction

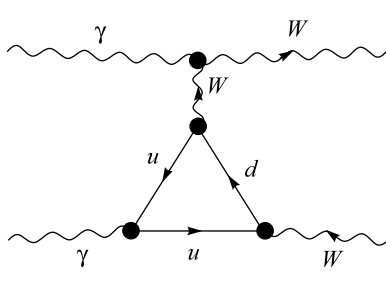


Рис. 5. Вершинная диаграмма процесса $\gamma(p_1)\gamma(p_2) \rightarrow W^+(k_1)W^-(k_2)$ в одномпетлевом приближении
Fig. 5. The vertex diagram of the process $\gamma(p_1)\gamma(p_2) \rightarrow W^+(k_1)W^-(k_2)$ in the one-loop correction

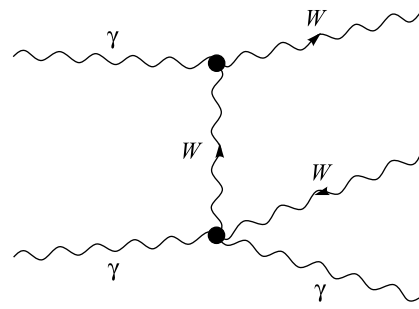


Рис. 6. Диаграмма жесткого тормозного процесса $\gamma(p_1)\gamma(p_2) \rightarrow W^+(k_1)W^-(k_2)\gamma(k_3)$
Fig. 6. The diagram of the hard bremsstrahlung process $\gamma(p_1)\gamma(p_2) \rightarrow W^+(k_1)W^-(k_2)\gamma(k_3)$

Полные и дифференциальные сечения

При исследовании процесса (1) использовалось приближение эквивалентных фотонов (приближение Вайцзеккера – Вильямса). В этом приближении заряженная частица представляется окруженной виртуальными квазиреальными фотонами с заданными распределениями по импульсу. Для протона функция распределения для γ -квантов в приближении эквивалентных фотонов имеет следующий вид [36]:

$$f_p(x) = \frac{\alpha}{\pi x} \left(1 - \frac{1}{x} \right) \left(\Phi\left(\frac{q_{\max}^2}{q_0^2}\right) - \Phi\left(\frac{q_{\min}^2}{q_0^2}\right) \right),$$

функция Φ задается выражением

$$\Phi(\xi) = (1 + ay) \left(\sum_{k=1}^3 \frac{1}{k(1+x)^k} - \ln(1 + \xi^{-1}) \right) - \frac{(1-b)y}{4\xi(1+\xi)^3} + c \left(1 + \frac{y}{4} \right) \left(\ln\left(\frac{1+\xi-b}{1+\xi}\right) + \sum_{k=1}^3 \frac{b^k}{k(1+\xi)^k} \right),$$

где $a = 7,16$; $b = -3,96$; $c = 0,028$; $q_0^2 = 0,71 \text{ ГэВ}^2$; $q_{\max}^2 = 2 \text{ ГэВ}^2$; $q_{\min}^2 = \frac{m_p^2 x^2}{1-x}$; $y = \frac{x^2}{1-x}$; m_p – масса адрона.

Для электрона (позитрона) функцию распределения для γ -кванта можно вычислить по следующей формуле [36]:

$$f_e(x) = \frac{\alpha}{x\pi} \left(\left(1 + x - \frac{x^2}{2} \right) \log\left(\frac{q_{\max}^2}{q_{\min}^2}\right) - \left(1 - x \right) \left(1 - \frac{q_{\max}^2}{q_{\min}^2} \right) \right),$$

где $q_{\min}^2 = \frac{m_e^2 x^2}{1-x}$; m_e – масса электрона (позитрона). Сечение в упругом случае задается формулой

$$\sigma(s) = \int dx_1 \int dx_2 f_p(x_1) f_p(\bar{x}_2) \hat{\sigma}(x_1 x_2 s).$$

Сечение для электрон-позитронных ускорителей имеет вид

$$\sigma(s) = \int dx_1 \int dx_2 f_e(x_1) f_e(\bar{x}_2) \hat{\sigma}(x_1 x_2 s).$$

Здесь $\hat{\sigma}$ – сечение процесса (1); $s = (P_1 + P_2)^2$, где P_1 и P_2 – 4-импульсы начальных частиц. Моделирование полных и дифференциальных сечений проводилось методом Монте-Карло [37; 38], для чего был создан генератор *TwoPhotonGen*, написанный на языке C++. Пакет *LoopTools* [39] использовался для численных расчетов одномпетлевых интегралов. Для выполнения условий применимости приближения эквивалентных фотонов необходимо, чтобы частицы, регистрируемые в форвард-детекторах, удовлетворяли определенным условиям. Данные условия (ограничения для псевдобыстрот η) для ускорителей LHC (ATLAS) и ILC (CLIC) представлены в табл. 1. Результаты моделирования полных сечений для LHC (ATLAS) приведены в табл. 2, для ILC (CLIC) – в табл. 3.

Таблица 1

**Ограничения для псевдобыстрот
рассеянных частиц в форвард-детекторах**

Table 1

**The cuts for pseudorapidity
of scattered particles in the forward-detectors**

Ускоритель	Ограничения
LHC (ATLAS)	$4,3 < \eta < 4,9$
ILC (CLIC)	$4,048 < \eta < 4,741$

Таблица 2

**Полные сечения процесса $\gamma(p_1)\gamma(p_2) \rightarrow W^+(k_1)W^-(k_2)$
для LHC (ATLAS) в лидирующем порядке теории возмущений
и однопетлевом приближении в упругом случае**

Table 2

**The total cross sections of process
 $\gamma(p_1)\gamma(p_2) \rightarrow W^+(k_1)W^-(k_2)$ for LHC (ATLAS)
for the leading order and the one-loop correction at the elastic case**

\sqrt{s} , ТэВ	Сечения σ , пб	
	LO	NLO
7	0,0401	0,0475
8	0,0495	0,0543
13	0,1020	0,1490
14	0,1130	0,1710

Таблица 3

**Полные сечения процесса
 $\gamma(p_1)\gamma(p_2) \rightarrow W^+(k_1)W^-(k_2)$ для ILC (CLIC)
в лидирующем порядке теории возмущений
и однопетлевом приближении**

Table 3

**The total cross sections
of process $\gamma(p_1)\gamma(p_2) \rightarrow W^+(k_1)W^-(k_2)$
for ILC (CLIC) for the leading order
and the one-loop correction**

\sqrt{s} , ГэВ	Сечения σ , пб	
	LO	NLO
250	0,0208	0,0241
500	0,0472	0,0570
750	0,1130	0,1540
1000	0,7770	0,9740

Результаты моделирования дифференциальных сечений в зависимости от инвариантной массы W -бозонов для LHC (ATLAS) представлены на рис. 7, для ILC (CLIC) – на рис. 8.

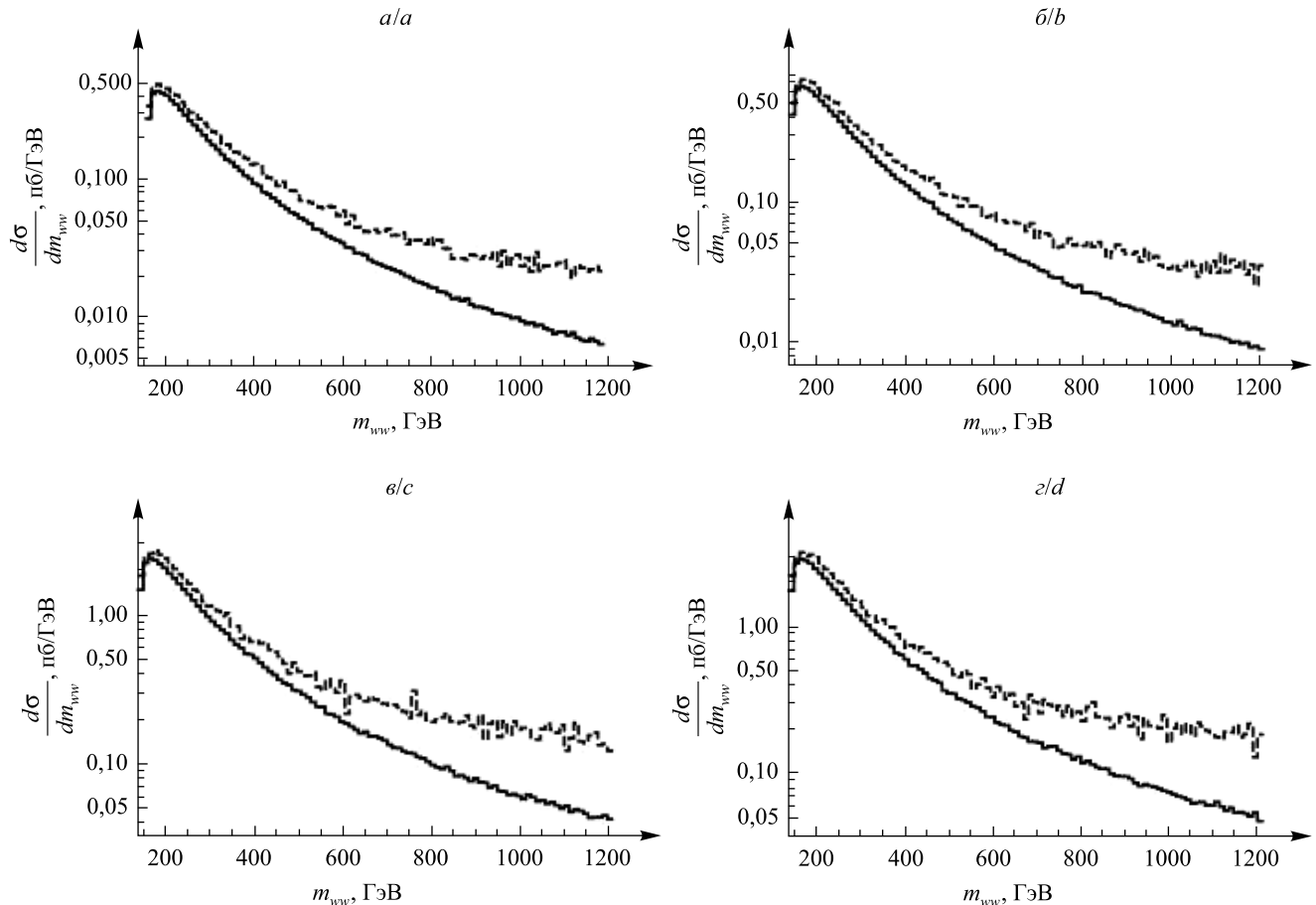


Рис. 7. Дифференциальное сечение процесса $\gamma(p_1)\gamma(p_2) \rightarrow W^+(k_1)W^-(k_2)$

в зависимости от инвариантной массы пары W -бозонов для LHC (ATLAS):

a – при $\sqrt{s} = 7$ ТэВ; b – при $\sqrt{s} = 8$ ТэВ; c – при $\sqrt{s} = 13$ ТэВ; d – при $\sqrt{s} = 14$ ТэВ.

Сплошная линия – лидирующий порядок теории возмущений, пунктирная линия – однопетлевое приближение

Fig. 7. The differential cross sections of process $\gamma(p_1)\gamma(p_2) \rightarrow W^+(k_1)W^-(k_2)$

depending of invariant mass of W -boson pair at LHC (ATLAS):

a – at $\sqrt{s} = 7$ TeV; b – at $\sqrt{s} = 8$ TeV; c – at $\sqrt{s} = 13$ TeV; d – at $\sqrt{s} = 14$ TeV.

The solid line – the leading order, the dashed line – the one-loop correction

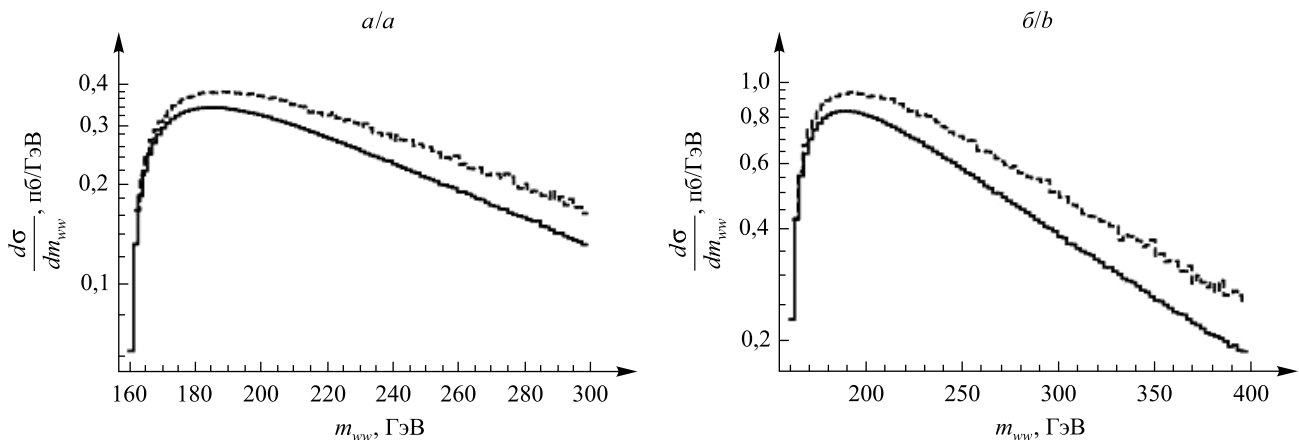


Рис. 8. Дифференциальное сечение процесса $\gamma(p_1)\gamma(p_2) \rightarrow W^+(k_1)W^-(k_2)$

в зависимости от инвариантной массы пары W -бозонов для ILC (CLIC):

a – при $\sqrt{s} = 250$ ГэВ; b – при $\sqrt{s} = 500$ ГэВ (окончание см. на с. 52)

Fig. 8. The differential cross sections of process $\gamma(p_1)\gamma(p_2) \rightarrow W^+(k_1)W^-(k_2)$

depending of invariant mass of W -boson pair at ILC (CLIC):

a – at $\sqrt{s} = 250$ GeV; b – at $\sqrt{s} = 500$ GeV (ending see p. 52)

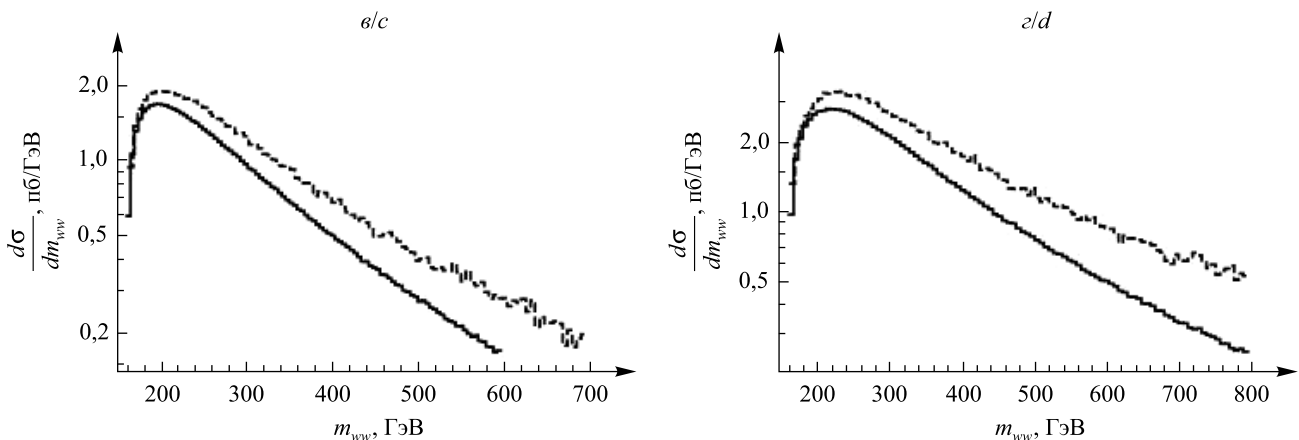


Рис. 8. Окончание (начало см. на с. 51): c – при $\sqrt{s} = 750$ ГэВ; d – при $\sqrt{s} = 1$ ТэВ.
 Сплошная линия – лидирующий порядок теории возмущений, пунктирная линия – однопетлевое приближение

Fig. 8. Ending (beginning see p. 51): c – at $\sqrt{s} = 750$ GeV; d – at $\sqrt{s} = 1$ TeV.
 The solid line – the leading order, the dashed line – the one-loop correction

Заключение

В работе исследован процесс рождения W -бозонов через двухфотонный механизм в приближении эквивалентных фотонов (приближение Вайцзеккера – Вильямса). Рассмотрен упругий случай. Данный процесс рождения W -бозонов может быть использован для поиска эффектов «новой физики». Получены полные и дифференциальные сечения в лидирующем порядке теории возмущений и однопетлевом приближении для ускорителей LHC (ATLAS) и ILC (CLIC) с помощью Монте-Карло генератора *TwoPhotonGen*, написанного на языке C++. Установлено, что значения сечения для однопетлевого приближения больше, чем для лидирующего порядка. Показано, что полные и дифференциальные сечения процесса растут с увеличением энергии сталкивающихся начальных частиц.

Библиографические ссылки

1. Glashow SL. Partial-symmetries of weak interaction. *Nuclear Physics*. 1961;22(4):579–588. DOI: 10.1016/0029-5582(61)90469-2.
2. Weinberg S. A model of leptons. *Physical Review Letters*. 1967;19(21):1264–1266. DOI: 10.1103/PhysRevLett.19.1264.
3. Greiner W, Schramm S, Stein E. *Quantum chromodynamics*. 2nd editon. Berlin: Springer; 2002. 572 p.
4. Индурайн Ф. *Квантовая хромодинамика: введение в теорию кварков и глюонов*. Быков АА, переводчик; Дремин ИМ, редактор. Москва: Мир; 1986. 288 с.
5. Narison S. *QCD as a theory of hadrons: from partons to confinement*. Cambridge: Cambridge University Press; 2004. 813 p.
6. Aitchison IJR. *Supersymmetry and the MSSM: an elementary introduction. Notes of lectures for graduate students in particle physics*. Oxford, 2004 and 2005 [Internet]. 2005 May 12 [cited 2014 May 12]. 156 p. Available from: <https://arxiv.org/abs/hep-ph/0505105>.
7. Aaboud M, Aad G, Abbott B, Abdallah J, Abdinov O, Abeloso B, et al. [ATLAS collaboration]. Measurement of exclusive $\gamma\gamma \rightarrow W^+W^-$ production and search for exclusive Higgs boson production in pp collisions at $\sqrt{s} = 8.0$ TeV using the ATLAS detector. *Physical Review D*. 2016;94(3):032011. DOI: 10.1103/PhysRevD.94.032011.
8. Chatrchyan S, Khachatryan V, Sirunyan AM, Tumasyan A, Adam W, Bergauer T, et al. [The CMS collaboration]. Study of exclusive two-photon production W^+W^- in pp collisions at $\sqrt{s} = 7.0$ TeV and constraints on anomalous quartic gauge couplings. *Journal of High Energy Physics*. 2013;7:116. DOI: 10.1007/JHEP07(2013)116.
9. Буднев ВМ, Гинзбург ИФ, Меледин ГВ, Сербо ВГ. Двухфотонное рождение частиц и приближение эквивалентных фотонов. *Физика элементарных частиц и атомного ядра*. 1973;4(1):239–284.
10. de Favereau de Jeneret J, Lemaître V, Liu Y, Ovyn S, Pierzchała T, Piotrzkowski K, et al. High energy photon interaction at the LHC [Internet]. 2009 August 14 [cited 2016 January 24]. 17 p. Available from: <http://arxiv.org/abs/0908.2020v1>.
11. Baer H, Barklow T, Fujii K, Gao Y, Hoang A, Shinya Kanemura S, et al., editors. *The International linear collider: technical design report. Volume 2. Physics*. [S. l.]: [s. n.]; 2013. 189 p.
12. Marfin IB, Shishkina TV. Electroweak radiative effects in the $\gamma\gamma \rightarrow W^+W^-$ process. Automatic loop calculations using FeynArts, FormCalc, and LoopTools. *Nonlinear Phenomena in Complex Systems*. 2005;8(4):409–420.
13. Marfin IB, Mossolov VA, Shishkina TV. The investigation of the $\gamma\gamma \rightarrow W^+W^-$ including electromagnetic corrections at the TESLA kinematics [Internet]. 2003 May 14 [cited 2016 June 12]. 18 p. Available from: <https://arxiv.org/abs/hep-ph/0305153>.
14. Bélanger G, Boudjema F. Probing quartic couplings of weak bosons through three vector production at a 500 GeV NLC. *Physics Letters B*. 1992;288(1–2):201–209. DOI: 10.1016/0370-2693(92)91978-I.
15. Pierzchała T, Piotrzkowski K. Sensitivity to anomalous quartic gauge couplings in photon-photon interactions at the LHC. *Nuclear Physics B – Proceedings Supplements*. 2008;179–180:257–264. DOI: 10.1016/j.nuclphysbps.2008.07.032.

16. Chapon E, Royon C, Kepka O. Probing $WW_{\gamma\gamma}$ and $ZZ_{\gamma\gamma}$ quartic anomalous couplings with 10 pb^{-1} at the LHC [Internet]. 2009 August 7 [cited 2015 May 12]. 4 p. Available from: <https://arxiv.org/pdf/0908.1061>.
17. Chapon E, Royon C, Kepka O. Anomalous quartic $WW_{\gamma\gamma}$, $ZZ_{\gamma\gamma}$, and trilinear $WW\gamma$ coupling in two-photon processes at high luminosity at the LHC. *Physical Review D*. 2010;81(7):074003. DOI: 10.1103/PhysRevD.81.074003.
18. Teles PR, d'Enterria D. Prospects for $\gamma\gamma \rightarrow H$ and $\gamma\gamma \rightarrow W^+W^-$ measurements at the FCC-ee [Internet]. 2015 October 28 [cited 2016 December 12]. Available from: <https://arxiv.org/pdf/1510.08141>.
19. d'Enterria D, Teles PR, Martins DE. Measurements of $\gamma\gamma \rightarrow$ Higgs and $\gamma\gamma \rightarrow W^+W^-$ in e^+e^- collisions at the Future Circular Collider [Internet]. 2017 December 19 [cited 2018 May 2]. Available from: <https://arxiv.org/pdf/1712.07023>.
20. Luszczak M, Szczurek A, Royon C. W^+W^- pair production in proton-proton collisions: small missing terms. *Journal of High Energy Physics*. 2015;2:98. DOI: 10.1007/JHEP02(2015)098.
21. Marfin IB, Mossolov VA, Shishkina TV. Anomalous quartic boson couplings via $\gamma\gamma \rightarrow W^+W^-$ and $\gamma\gamma \rightarrow W^+W^-Z$ at the TESLA kinematics [Internet]. 2003 April 30 [cited 2016 June 20]. Available from: <https://arxiv.org/abs/hep-ph/0304250>.
22. Sjöstrand T, Edén P, Friberg C, Lönnblad L, Miu G, Mrenna S, et al. High-energy-physics event generator with Pythia 6.1. *Computer Physics Communications*. 2001;135(2):238–259. DOI: 10.1016/S0010-4655(00)00236-8.
23. Alwall J, Demin P, de Visscher S, Frederix R, Herquet M, Maltoni F, et al. MadGraph/MadEvent v4: the new web generation. *Journal of High Energy Physics*. 2007;9:28. DOI: 10.1088/1126-6708/2007/09/028.
24. Marchesini G, Webber BR, Abbiendi G, Knowles IG, Seymour MH, Stanco L. HERWIG 5.1 – a Monte Carlo event generator for simulating hadron emission reactions with interfering gluons. *Computer Physics Communications*. 1992;67(3):465–508. DOI: 10.1016/0010-4655(92)90055-4.
25. Pukhov A. Adaptation of Vegas for event integration. *Nuclear Instruments and Methods in Physics Research Section A: Accelerators, Spectrometers, Detectors and Associated Equipment*. 2003;502(2–3):596–598. DOI: 10.1016/S0168-9002(03)00514-X.
26. Boonekamp M, Dechambre A, Juraneck V, Kepka O, Rangel MS, Royon C, et al. FPMC: a generator for forward physics [Internet]. 2011 February 12 [cited 2016 December 21]. Available from: <https://arxiv.org/pdf/1102.2531>.
27. Манько АЮ, Сацункевич ИС, Шуляковский РГ. Монте-Карло генератор НЕРСомп для двухфотонного рождения лептонных пар в адронных столкновениях. *Известия Национальной академии наук Беларусь. Серия физико-математических наук*. 2014;1:108–112.
28. Manko A, Satsunkevich I, Shulyakovskiy R. Two-photon process at Tevatron and LHC. *Nonlinear Phenomena in Complex Systems*. 2013;16(1):72–78.
29. Манько АЮ, Шуляковский РГ. Двухфотонное рождение лептонов на адронных ускорителях в полуупругом и неупругом случаях. *Ядерная физика*. 2016;79(2):129–133.
30. Manko A, Satsunkevich I, Shulyakovskiy R. On possibility of supersymmetric leptons observation at ILC and CLIC. *Nonlinear Phenomena in Complex Systems*. 2014;17(2):188–193.
31. v. Weizsäcker CF. Ausstrahlung bei Stößen sehr schneller Elektronen. *Zeitschrift für Physik A Hadrons and nuclei*. 1934; 88(9–10):612–625. DOI: 10.1007/BF01333110.
32. Williams EJ. Nature of the high energy particles of penetrating radiation and status of ionization and radiation formulae. *Physical Review*. 1934;45(10):729–730. DOI: 10.1103/PhysRev.45.729.
33. Hahn T. Generating Feynman diagrams and amplitudes with FeynArts 3. *Computer Physics Communications*. 2001;140(3): 418–431. DOI: 10.1016/S0010-4655(01)00290-9.
34. Shtabovenko V, Mertig R, Orellana F. New developments in FeynCalc 9.0. *Computer Physics Communications*. 2016;207: 432–444. DOI: 10.1016/j.cpc.2016.06.008.
35. Ченг Т-П, Ли Л-Ф. Калибровочные теории в физике элементарных частиц. Москва: Мир; 1987. 624 с.
36. Budnev VM, Ginzburg IF, Meledin GV, Serbo VG. The two-photon particle production mechanism. Physical problems. Applications. Equivalent photon approximation. *Physics Reports*. 1975;15(4):181–282. DOI: 10.1016/0370-1573(75)90009-5.
37. Бюклинг Е, Каянти К. Кинематика элементарных частиц. Копылов ГИ, редактор. Москва: Мир; 1975. 343 с.
38. Weinzierl S. Introduction to Monte Carlo methods [Internet]. 2000 June 23 [cited 2010 September 12]. 47 p. Available from: <https://arxiv.org/abs/hep-ph/0006269>.
39. Hahn T, Pérez-Victoria M. Automatized one-loop calculations in four and D dimensions. *Computer Physics Communications*. 1999;118(2–3):153–165. DOI: 10.1016/S0010-4655(98)00173-8.

References

1. Glashow SL. Partial-symmetries of weak interaction. *Nuclear Physics*. 1961;22(4):579–588. DOI: 10.1016/0029-5582(61)90469-2.
2. Weinberg S. A model of leptons. *Physical Review Letters*. 1967;19(21):1264–1266. DOI: 10.1103/PhysRevLett.19.1264.
3. Greiner W, Schramm S, Stein E. *Quantum chromodynamics*. 2nd editon. Berlin: Springer; 2002. 572 p.
4. Yndurain FJ. *Quantum chromodynamics: an introduction to the theory of quarks and gluons*. New York: Springer-Verlag; 1983. XI, 228 p.
Russian edition: Yndurain F. *Kvantovaya khromodinamika: vvedenie v teoriyu kvarkov i gleyonov*. Bykov AA, translator; Dremin IM, editor. Moscow: Mir; 1986. 288 p.
5. Narison S. *QCD as a theory of hadrons: from partons to confinement*. Cambridge: Cambridge University Press; 2004. 813 p.
6. Aitchison IJR. *Supersymmetry and the MSSM: an elementary introduction. Notes of lectures for graduate students in particle physics. Oxford, 2004 and 2005* [Internet]. 2005 May 12 [cited 2014 May 12]. 156 p. Available from: <https://arxiv.org/abs/hep-ph/0505105>.
7. Aaboud M, Aad G, Abbott B, Abdallah J, Abdinov O, Abeloos B, et al. [ATLAS collaboration]. Measurement of exclusive $\gamma\gamma \rightarrow W^+W^-$ production and search for exclusive Higgs boson production in pp collisions at $\sqrt{s} = 8.0$ TeV using the ATLAS detector. *Physical Review D*. 2016;94(3):032011. DOI: 10.1103/PhysRevD.94.032011.
8. Chatrchyan S, Khachatryan V, Sirunyan AM, Tumasyan A, Adam W, Bergauer T, et al. [The CMS collaboration]. Study of exclusive two-photon production W^+W^- in pp collisions at $\sqrt{s} = 7.0$ TeV and constraints on anomalous quartic gauge couplings. *Journal of High Energy Physics*. 2013;7:116. DOI: 10.1007/JHEP07(2013)116.

9. Budnev VM, Ginzburg IF, Meledin GV, Serbo VG. [Two-photon particle generation and approximation of equivalent photons]. *Fizika elementarnykh chastits i atomnogo yadra*. 1973;4(1):239–284. Russian.
10. de Favereau de Jeneret J, Lemaître V, Liu Y, Ovyn S, Pierzchała T, Piotrzkowski K, et al. High energy photon interaction at the LHC [Internet]. 2016 August 14 [cited 2016 January 24]. 17 p. Available from: <http://arxiv.org/abs/0908.2020v1>.
11. Baer H, Barklow T, Fujii K, Gao Y, Hoang A, Shinya Kanemura S, et al., editors. *The International linear collider: technical design report. Volume 2. Physics*. [S. l.]: [s. n.]; 2013. 189 p.
12. Marfin IB, Shishkina TV. Electroweak radiative effects in the $\gamma\gamma \rightarrow W^+W^-$ process. Automatic loop calculations using FeynArts, FormCalc, and LoopTools. *Nonlinear Phenomena in Complex Systems*. 2005;8(4):409–420.
13. Marfin IB, Mossolov VA, Shishkina TV. The investigation of the $\gamma\gamma \rightarrow W^+W^-$ including electromagnetic corrections at the TESLA kinematics [Internet]. 2003 May 14 [cited 2016 June 12]. 18 p. Available from: <https://arxiv.org/abs/hep-ph/0305153>.
14. Bélanger G, Boudjema F. Probing quartic couplings of weak bosons through three vector production at a 500 GeV NLC. *Physics Letters B*. 1992;288(1–2):201–209. DOI: 10.1016/0370-2693(92)91978-I.
15. Pierzchała T, Piotrzkowski K. Sensitivity to anomalous quartic gauge couplings in photon-photon interactions at the LHC. *Nuclear Physics B – Proceedings Supplements*. 2008;179–180:257–264. DOI: 10.1016/j.nuclphysbps.2008.07.032.
16. Chapon E, Royon C, Kepka O. Probing $WW_{\gamma\gamma}$ and $ZZ_{\gamma\gamma}$ quartic anomalous couplings with 10 pb^{-1} at the LHC [Internet]. 2009 August 7 [cited 2015 May 12]. 4 p. Available from: <https://arxiv.org/pdf/0908.1061>.
17. Chapon E, Royon C, Kepka O. Anomalous quartic $WW_{\gamma\gamma}$, $ZZ_{\gamma\gamma}$, and trilinear $WW\gamma$ coupling in two-photon processes at high luminosity at the LHC. *Physical Review D*. 2010;81(7):074003. DOI: 10.1103/PhysRevD.81.074003.
18. Teles PR, d'Enterria D. Prospects for $\gamma\gamma \rightarrow H$ and $\gamma\gamma \rightarrow W^+W^-$ measurements at the FCC-ee [Internet]. 2015 October 28 [cited 2016 December 12]. Available from: <https://arxiv.org/pdf/1510.08141>.
19. d'Enterria D, Teles PR, Martins DE. Measurements of $\gamma\gamma \rightarrow$ Higgs and $\gamma\gamma \rightarrow W^+W^-$ in e^+e^- collisions at the Future Circular Collider [Internet]. 2017 December 19 [cited 2018 May 2]. Available from: <https://arxiv.org/pdf/1712.07023>.
20. Luszczak M, Szczurek A, Royon C. W^+W^- pair production in proton-proton collisions: small missing terms. *Journal of High Energy Physics*. 2015;2:98. DOI: 10.1007/JHEP02(2015)098.
21. Marfin IB, Mossolov VA, Shishkina TV. Anomalous quartic boson couplings via $\gamma\gamma \rightarrow W^+W^-$ and $\gamma\gamma \rightarrow W^+W^-Z$ at the TESLA kinematics [Internet]. 2003 April 30 [cited 2016 June 20]. Available from: <https://arxiv.org/abs/hep-ph/0304250>.
22. Sjöstrand T, Edén P, Friberg C, Lönnblad L, Miu G, Mrenna S, et al. High-energy-physics event generator with Pythia 6.1. *Computer Physics Communications*. 2001;135(2):238–259. DOI: 10.1016/S0010-4655(00)00236-8.
23. Alwall J, Demin P, de Visscher S, Frederix R, Herquet M, Maltoni F, et al. MadGraph/MadEvent v4: the new web generation. *Journal of High Energy Physics*. 2007;9:28. DOI: 10.1088/1126-6708/2007/09/028.
24. Marchesini G, Webber BR, Abbiendi G, Knowles IG, Seymour MH, Stanco L. HERWIG 5.1 – a Monte Carlo event generator for simulating hadron emission reactions with interfering gluons. *Computer Physics Communications*. 1992;67(3):465–508. DOI: 10.1016/0010-4655(92)90055-4.
25. Pukhov A. Adaptation of Vegas for event integration. *Nuclear Instruments and Methods in Physics Research Section A: Accelerators, Spectrometers, Detectors and Associated Equipment*. 2003;502(2–3):596–598. DOI: 10.1016/S0168-9002(03)00514-X.
26. Boonekamp M, Dechambre A, Juraneck V, Kepka O, Rangel MS, Royon C, et al. FPMC: a generator for forward physics [Internet]. 2011 February 12 [cited 2016 December 21]. Available from: <https://arxiv.org/pdf/1102.2531>.
27. Manko AU, Satsunkevich IS, Shulyakovskiy RG. HEPComp Monte Carlo generator for two-photon production of lepton pairs at hadron collisions. *Proceedings of the National Academy of Sciences of Belarus. Physics and Mathematics series*. 2014;1:108–112. Russian.
28. Manko A, Satsunkevich I, Shulyakovskiy R. Two-photon process at Tevatron and LHC. *Nonlinear Phenomena in Complex Systems*. 2013;16(1):72–78.
29. Manko AYu, Shulyakovskiy RG. Two-photon production of leptons at hadron colliders in semielastic and inelastic cases. *Yadernaya fizika*. 2016;79(2):129–133. Russian.
30. Manko A, Satsunkevich I, Shulyakovskiy R. On possibility of supersymmetric leptons observation at ILC and CLIC. *Nonlinear Phenomena in Complex Systems*. 2014;17(2):188–193.
31. v. Weizsäcker CF. Ausstrahlung bei Stößen sehr schneller Elektronen. *Zeitschrift für Physik A Hadrons and nuclei*. 1934;88(9–10):612–625. DOI: 10.1007/BF01333110.
32. Williams EJ. Nature of the high energy particles of penetrating radiation and status of ionization and radiation formulae. *Physical Review*. 1934;45(10):729–730. DOI: 10.1103/PhysRev.45.729.
33. Hahn T. Generating Feynman diagrams and amplitudes with FeynArts 3. *Computer Physics Communications*. 2001;140(3):418–431. DOI: 10.1016/S0010-4655(01)00290-9.
34. Shtabovenko V, Mertig R, Orellana F. New developments in FeynCalc 9.0. *Computer Physics Communications*. 2016;207:432–444. DOI: 10.1016/j.cpc.2016.06.008.
35. Cheng T-P, Li L-F. *Gauge theory of elementary particle physics*. Oxford: Clarendon Press; 1984. XI, 536 p.
Russian edition: Cheng T-P, Li L-F. *Kalibrovochnye teorii v fizike elementarnykh chastits*. Moscow: Mir; 1987. 624 p.
36. Budnev VM, Ginzburg IF, Meledin GV, Serbo VG. The two-photon particle production mechanism. Physical problems. Applications. Equivalent photon approximation. *Physics Reports*. 1975;15(4):181–282. DOI: 10.1016/0370-1573(75)90009-5.
37. Byckling E, Kajantie K. *Particle kinematics*. London: John Wiley and Sons; 1973. 319 p.
Russian edition: Byckling E, Kajantie K. *Kinematika elementarnykh chastits*. Kopylov GI, editor. Moscow: Mir; 1975. 343 p.
38. Weinzierl S. Introduction to Monte Carlo methods [Internet]. 2000 June 23 [cited 2010 September 12]. 47 p. Available from: <https://arxiv.org/abs/hep-ph/0006269>.
39. Hahn T, Pérez-Victoria M. Automatized one-loop calculations in four and D dimensions. *Computer Physics Communications*. 1999;118(2–3):153–165. DOI: 10.1016/S0010-4655(98)00173-8.